

Согласовано

_____ М.А. Антоненц

_____ Л.В.Нестеренко

Education

Распознавание планарности и укладка графа на плоскости

Автор _____

Соавторы _____

Рецензент(ы) _____

Редактор _____

Нормоконтролер _____

07.03.00

Нижний Новгород

1999 г

Оглавление

Основные определения и факты	4
Распознавание планарности и построение граней	7
Алгоритм построения граней	8
Укладка планарного графа на плоскости с помощью механических моделей	10
Алфавитный указатель	14
Литература	15

Основные определения и факты

Основным в теории графов является, естественно, понятие графа. Однако вопросы, рассматриваемые в этой теории, ее приложения и сами графы очень разнообразны. Поэтому попытка дать исчерпывающе общее определение графа приводит к громоздким формулировкам, и в конкретных случаях пользуются более частными определениями, выделяющими определенный класс графов, к которым рассматриваемый вопрос имеет непосредственное отношение. Так, в зависимости от обстоятельств, рассматривают графы конечные, бесконечные, ориентированные, неориентированные, мультиграфы, графы с петлями или без таковых. В некоторых случаях граф обобщается до гиперграфа.

Понятие *планарности* графа обычно вводят для класса так называемых *обыкновенных графов*, хотя его можно распространить и на другие классы. Под обыкновенным графом понимают пару множеств (V, E) , где V – произвольное конечное множество, элементы которого называются *вершинами* (или узлами), а E – множество неупорядоченных пар элементов множества V , т. е. пар вида (a, b) , где a, b – два разных элемента множества V . Пара (a, b) называется *ребром* графа, а вершины a, b – *концами* этого ребра.

Понятие обыкновенного графа можно отождествить с понятием *симметричного антирефлексивного бинарного* отношения на множестве вершин. Любой такой граф можно задать, перечислив элементы множеств V и E . Граф с n вершинами и m ребрами иногда называют (n, m) -графом.

Напомним некоторые определения из теории графов (см., например, [1]).

- *Цепью* в обыкновенном графе называют последовательность $\alpha = (a_1, a_2, \dots, a_k)$ его вершин, в которой каждая пара (a_i, a_{i+1}) при $i = 1, 2, \dots, k-1$ является ребром графа. Говорят, что цепь α *связывает* ее конечные вершины a_1, a_k .
- Цепь $\alpha = (a_1, a_2, \dots, a_k)$ называется *циклом*, если в ней $a_1 = a_k$.
- Граф называется *связным*, если любая пара его вершин связана цепью.
- Граф $G' = (V', E')$ называется *подграфом* графа $G = (V, E)$, если $V' \subseteq V$ и $E' \subseteq E$.
- Граф $G' = (V', E')$ называется *подграфом* графа $G = (V, E)$, *порожденным множеством вершин* V' , если $V' \subseteq V$, и $E' = E \cap (V' \times V')$.
- *Компонентой связности* графа называется максимальное по включению подмножество его вершин, в котором каждые две вершины связаны цепью. Компонентой связности называют также и подграф, порожденный таким множеством вершин.
- Граф называется *лесом*, если в нем нет циклов.
- Граф называется *деревом*, если он связан и в нем нет циклов.
- Граф называется *двудольным*, если множество его вершин можно разбить на два подмножества, называемых *долями* так, что концы каждого ребра принадлежат разным долям.

- Вершина графа называется *точкой сочленения*, если удаление ее из графа вместе с инцидентными ей ребрами увеличивает число компонент связности.
- *Блоком* в графе называется максимальное по включению подмножество его вершин, не содержащее точек сочленения. Блоком называется также и подграф, порожденный таким множеством вершин.
- *Остовным деревом* графа $G = (V, E)$ называется любой его подграф $G = (V, E')$, являющийся деревом.

Графы принято изображать в виде рисунков, на которых разным вершинам соответствуют разные точки, а ребрам – непрерывные линии без самопересечений, соединяющие их. Часто стремятся изображать ребра не произвольными непрерывными линиями, а отрезками прямых или ломаными. Изображение графа на плоскости называется его *плоской укладкой*, если линии, изображающие ребра, не имеют общих точек кроме, возможно, точек, изображающих концы ребер. Граф называется *планарным*, если он допускает плоскую укладку (см. Рис 1). Часто вместо слов "плоская укладка" говорят "плоский граф", имея в виду не только сам планарный граф, но и его конкретную плоскую укладку.

Наряду с укладками графа на плоскости рассматривают укладки в трехмерном пространстве или на других геометрических многообразиях, например, на сфере, на торе, на сфере с несколькими ручками и т. д.

Гранью плоского графа называется замыкание максимального по включению множества точек плоскости, каждая пара которых может быть соединена непрерывной кривой без самопересечений, не имеющей общих точек с ребрами графа.

Очевидно, что каждая точка плоскости, не являющаяся вершиной плоского графа или внутренней точкой какого-либо из его ребер, принадлежит какой-то одной грани плоского графа; каждая внутренняя точка любого из ребер принадлежит ровно двум граням; вершина плоского графа может принадлежать любому числу граней. Одна из граней является бесконечной, ее называют *внешней*, остальные грани конечны.

Границей грани называется множество вершин и ребер, точки которых принадлежат этой грани.

Приведем некоторые очевидные утверждения о планарных графах.

- Всякий подграф планарного графа планарен.
- Граф планарен тогда и только тогда, когда каждая его компонента связности является планарным графом.
- Граф планарен тогда и только тогда, когда каждый его блок является планарным графом.
- Граф планарен тогда и только тогда, когда он укладывается на сфере.
- Всякий граф укладывается в трехмерном пространстве.
- Всякий плоский граф имеет единственную неограниченную грань. Такая грань называется внешней, а остальные, если они есть – внутренними.

- Всякую внутреннюю грань можно превратить во внешнюю с помощью стереографической проекции.
- Всякий планарный граф допускает такую плоскую укладку, при которой любая заранее выбранная вершина оказывается на его внешней грани.

ТЕОРЕМА ЭЙЛЕРА (1758 г). Для любого связного плоского графа с n вершинами, m ребрами и f гранями справедливо соотношение $n - m + f = 2$ (формула Эйлера).

Набросок доказательства: выбираем произвольное остовное дерево исходного плоского графа. Число ребер этого дерева $m_1 = n - 1$, а число граней $f_1 = 1$. Формула Эйлера для него, очевидно, справедлива. Далее, добавление любого ребра из исходного графа увеличивает число ребер и число граней на 1, при этом соотношение Эйлера не нарушается.

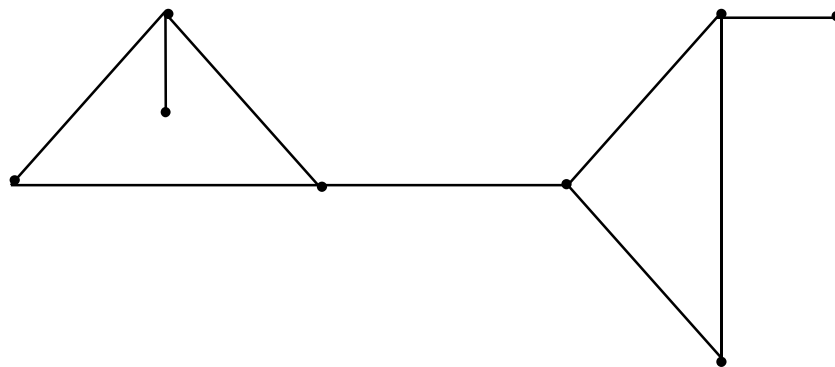


Рис 1. Укладка планарного графа $n = 8, m = 9, f = 3$

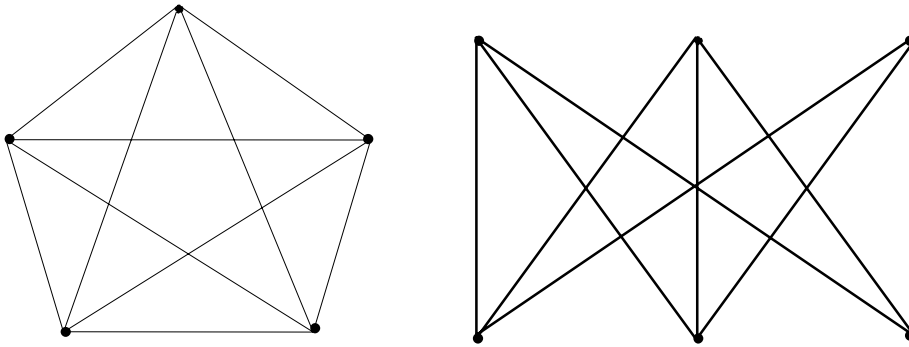
Из теоремы Эйлера следует, что число граней в любой плоской укладке данного планарного (n, m) -графа одно и то же: $f = m - n + 2$.

Для связного планарного (n, m) -графа с $n \geq 3$ вершинами справедливо неравенство $m \leq 3n - 6$.

Действительно, если граф не является трехвершинным деревом, каждая грань ограничена не менее, чем тремя ребрами, следовательно, обходя все грани по их периметрам, мы пройдем $p \geq 3f$ ребер. С другой стороны, каждое ребро будет пройдено дважды и, следовательно, $p = 2m$, поэтому $3f \leq 2m$. Из этого неравенства и формулы Эйлера легко получить требуемое неравенство.

Полный пятивершинный граф K_5 (см. Рис 2.) не планарен, так как для него $n = 5, m = 10$ и, следовательно, неравенство $m \leq 3n - 6$ не выполняется.

Полный двудольный граф $K_{3,3}$, содержащий по три вершины в каждой доле, также не планарен. Действительно, $n = 6, m = 9$, поэтому если бы он был планарным, то в любой его плоской укладке в соответствии с формулой Эйлера было бы $f = m - n + 2 = 5$ граней. Но $K_{3,3}$ – двудольный, поэтому не имеет циклов нечетной длины, следовательно, каждая грань любой его плоской укладки была бы ограничена не менее чем четырьмя ребрами и было бы $4f \leq 2m$, что в нашем случае, очевидно, не выполняется.

Рис 2. Основные непланарные графы K_5 и $K_{3,3}$

Распознавание планарности и построение граней

Проблему распознавания планарности графа независимо друг от друга решили Л.С.Понтрягин (1927 г.) и К.Куратовский (1930 г.), доказавшие, что граф планарен тогда и только тогда, когда он не содержит подграфов, гомеоморфных K_5 и $K_{3,3}$.

Этот критерий мог бы служить основой для алгоритма распознавания планарности, однако впоследствии были разработаны не опирающиеся на него более быстрые алгоритмы, которые не только распознают свойство планарности, но и строят плоскую укладку графа. Дж. Хопкрофт и Р.Е.Тарьян впервые показали, что планарность может быть распознана за время $O(n)$. Описание их алгоритма см. в [2], известен и другой алгоритм, также требующий линейного времени [3]. Эти алгоритмы основаны на использовании специально организованных структур данных, содержат много деталей и требуют непростых доказательств.

Построение плоской укладки графа разобьем на два этапа. На первом этапе мы определим, какие ребра и в каком порядке составляют границы граней, эту информацию будем называть *схемой укладки*. В следующем пункте мы рассмотрим способы вычисления координат вершин на плоскости, реализующих конкретную укладку.

Мы опишем алгоритм, применимый к любому *двусвязному* графу (т.е. связному и без точек сочленения), представленный в работе [4]. Если данный граф планарен, то алгоритм построит набор циклов, ограничивающих грани одной из возможных упадок, не вычисляя координаты вершин. В противном случае алгоритм установит, что данный граф не является планарным. Работа начинается с укладки некоторого цикла, уложенный цикл считается частичной укладкой, затем по некоторым правилам находится еще не уложенный путь, находится грань, в которой выбранный путь может быть уложен, и происходит фактическая его укладка. Основная забота при выполнении алгоритма заключается в том, чтобы очередной выбор пути и грани не оказались неудачными с точки зрения доведения алгоритма до его завершения.

Введем некоторые определения, необходимые для описания алгоритма.

Пусть $G = (V, E)$ – некоторый граф, $G' = (V', E')$ – его подграф ($V' \subset V$, $E' \subset E$), E'' – множество ребер из $E \setminus E'$, у которых один конец принадлежит V' , а другой $V \setminus V'$ и, наконец, E''' – множество ребер из $E \setminus E'$, у которых оба конца принадлежат V' .

Рассмотрим граф $G'' = (V \setminus V', E \setminus E' \setminus E'' \setminus E''')$, полученный из G удалением G' вместе с ребрами, инцидентными вершинам из V' .

Компоненты связности графа G'' , дополненные ребрами из E'' , а также ребра из E''' , будем называть *сегментами* графа G относительно подграфа G' . Ребра из E'' будем называть *контактными* ребрами (они соединяют вершины из V' с упомянутыми выше компонентами связности).

Укладку подграфа G' называют G -допустимой, если она является частичной укладкой некоторой укладки графа G .

Рассмотрим некоторую G -допустимую укладку подграфа G' и некоторый сегмент S графа G относительно G' . Через $F(G', S)$ обозначим множество граней рассматриваемой частичной укладки, в каждой из которых можно уложить сегмент S . Представленный ниже алгоритм находит последовательность G_1, G_2, \dots плоских графов таких, что $G_i \subset G_{i+1}$ ($i = 1, 2, \dots$).

Если G планарен, то, как мы увидим ниже, каждый построенный граф G_i будет G -допустимым и алгоритм завершит работу, построив на $(m - n + 1)$ -ом шаге очередной плоский граф G_{m-n+1} , являющийся плоской укладкой исходного графа G .

Если G не планарен, то алгоритм остановится, обнаружив на некотором шаге i плоский граф G_i и сегмент S относительно G_i , для которых $F(G_i, S)$ пусто.

Очевидно, необходимым условием того, чтобы G_i был G -допустимым, является непустота множества $F(G_i, S)$ для каждого сегмента относительно G_i .

Алгоритм построения граней

1. В качестве G_1 выбрать произвольный цикл C в графе G , уложить его вершины так, чтобы получился многоугольник, сформировать две грани – внутреннюю и внешнюю. Набор из полученных двух граней принять за частичную укладку графа G , положить $i = 1$.

Если текущая частичная укладка содержит все ребра графа G , то укладка графа построена, в противном случае перейти к следующему пункту.

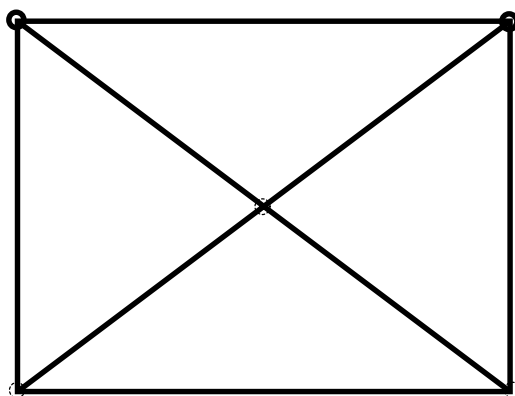


Рис. 3. Частичная укладка планарного графа, изображенного на рис. 4б

3. Построить сегменты S_1, S_2, \dots, S_k относительно G_i (k – число построенных сегментов), построить для них множества $F(G_i, S_1), F(G_i, S_2), \dots, F(G_i, S_k)$.

4. Выполнить в зависимости от условий один из следующих трех пунктов.

а) Если для некоторого $j \in \{1, 2, \dots, k\}$ окажется $F(G_b, S_j) = \emptyset$, то граф не планарен (рис.4а).

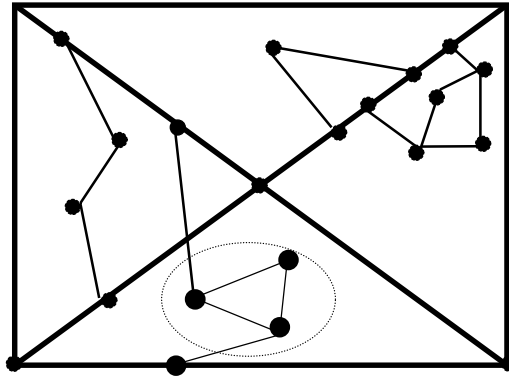


Рис 4 а. Один из сегментов не имеет допустимой грани

б) Если для некоторого $j \in \{1, 2, \dots, k\}$ окажется, что $F(G_b, S_j)$ состоит из единственной грани F , то в S_j выбрать произвольную простую цепь Z , начинающуюся и заканчивающуюся контактными ребрами (рис.4б).

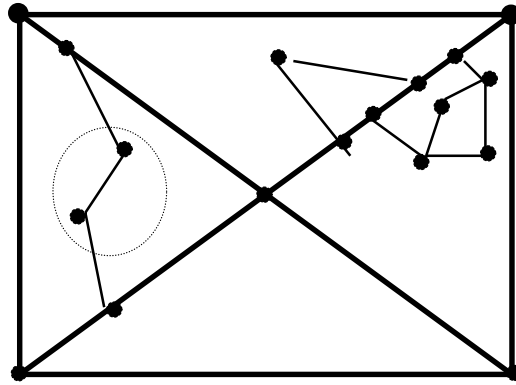


Рис 4 б. Один из сегментов имеет единственную допустимую грань

с) Если для всех $j \in \{1, 2, \dots, k\}$ окажется, что $F(G_b, S_j)$ состоит не менее, чем из двух граней, то выбрать произвольное $j \in \{1, 2, \dots, k\}$, в $F(G_b, S_j)$ выбрать произвольную грань F , в S_j выбрать произвольную простую цепь Z , начинающуюся и заканчивающуюся контактными ребрами (рис.4с).

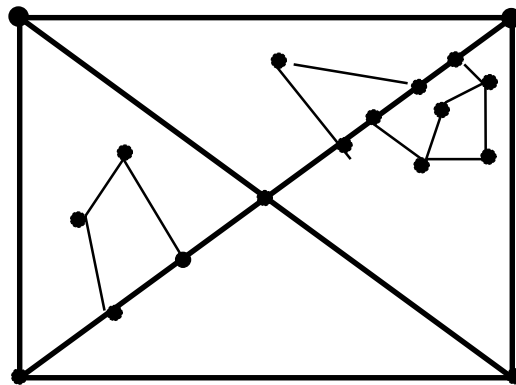


Рис 4 с. Три сегмента имеют по две допустимых грани

5. В качестве G_{i+1} взять G_i с добавленной цепью Z и уложить Z в грань F , разбивая F на две грани. Тем самым получить укладку графа G_{i+1} , являющуюся новой частичной укладкой графа G .

Увеличить i на 1 и перейти к пункту 2.

Для обоснования алгоритма достаточно показать, что на любом графе он закончит работу через конечное число шагов и, если исходный граф G планарен, то на протяжении всех его шагов частичная укладка остается G -допустимой.

Конечность алгоритма очевидна ввиду того, что при каждом выполнении пункта 4 число уложенных ребер увеличивается.

Остановимся на G -допустимости. Очевидно, что после выполнения пункта 1 построенная частичная укладка G -допустима.

Предположим, что при некотором значении i частичная укладка подграфа G_i является G -допустимой, т. е. она является частью некоторой укладки G^\wedge графа G .

Рассмотрим сегмент S и грань F , полученные на шаге 4b или 4с при построении укладки графа G_{i+1} . Если имел место случай 4b, то очевидно, что построенная на шаге 5 укладка графа G_{i+1} будет частью укладки G^\wedge .

Допустим, что имел место случай 4с, и при этом сегмент S размещается не в грани F укладки G^\wedge , а в какой либо другой грани F' . (Заметим, что в этом случае контактные точки сегмента S расположены на общем участке границы между гранями F и F'). Так как G двусвязен, то каждый сегмент относительно G_i имеет по крайней мере два контактных ребра и, следовательно, может быть нарисован в любой из двух граней F и F' . Тогда каждый сегмент, имеющий точки контакта на общем участке границы этих граней, может быть перерисован в "противоположной" грани, то есть перенесен из F в F' , если он был расположен в F , или из F' в F , если он был расположен в F' . Но тогда вместо G^\wedge мы получим другую укладку, частью которой является построенная алгоритмом укладка графа G_{i+1} и, следовательно, построенная алгоритмом укладка является G -допустимой.

Укладка планарного графа на плоскости с помощью механических моделей

Одним из способов плоской укладки графа является так называемый силовой метод [5], который заключается в том, что граф рассматривается как упругая механическая система. Вершины графа соответствуют точкам системы, ребра – упругим силовым связям (пружинкам) между точками. Одна из граней графа объявляется внешней, ее вершины размещаются в вершинах произвольного выпуклого многоугольника, положения остальных вершин определяются из условия равновесия механической системы, соответствующего минимуму потенциальной энергии.

Схема вычислений получается наиболее простой, если силовые связи подчиняются закону Гука: сила натяжения пружины пропорциональна ее длине (коэффициент пропорциональности называется жесткостью пружины). В этом случае потенциальная энергия системы представляет собой положительно определенную квадратичную функцию

$$W = \frac{1}{2} \sum_{(p_i, p_j) \in E} w_{ij} d^2(p_i, p_j).$$

- Здесь E – множество ребер графа;
- $d^2(p_i, p_j)$ – квадрат расстояния между вершинами графа p_i, p_j , декартовы координаты которых (x_i, y_i) и (x_j, y_j) . $d^2(p_i, p_j) = (x_i - x_j)^2 + (y_i - y_j)^2$;
- w_{ij} – произвольные положительные веса этих ребер (в частности, можно взять все веса равными 1).

Переменными, от которых зависит функция W , являются координаты вершин графа, не принадлежащих внешней грани.

Минимум функции ищется из условий равенства нулю ее производных:

$$\frac{\partial W}{\partial x_i} = \sum_{p_j \in V(p_i)} w_{ij} (x_i - x_j) = 0, \quad \frac{\partial W}{\partial y_i} = \sum_{p_j \in V(p_i)} w_{ij} (y_i - y_j) = 0.$$

- Здесь $p_i \in V$ – вершина, не принадлежащая внешней грани графа,
- $V(p_i)$ – окрестность вершины p_i , т.е. множество смежных с p_i вершин.

Ниже используются также обозначения

- $V^{in}(p_i)$ – множество вершин из $V(p_i)$, не принадлежащих внешней грани,
- $V^{out}(p_i)$ – множество вершин из $V(p_i)$, принадлежащих внешней грани.

После несложных преобразований эти системы можно записать в виде:

$$x_i \sum_{p_j \in V(p_i)} w_{ij} - \sum_{p_j \in V^{in}(p_i)} w_{ij} x_j = \sum_{p_j \in V^{out}(p_i)} w_{ij} x_j, \quad y_i \sum_{p_j \in V(p_i)} w_{ij} - \sum_{p_j \in V^{in}(p_i)} w_{ij} y_j = \sum_{p_j \in V^{out}(p_i)} w_{ij} y_j.$$

Заметим, во-первых, что системы уравнений для определения неизвестных абсцисс и ординат независимы друг от друга, а во-вторых, что матрицы этих систем одинаковы и различие между системами определяется их правыми частями.

Развитием метода линейной силовой укладки является нелинейный силовой метод [6]. В этом случае граф также рассматривается как механическая система и укладка связного графа обеспечивается уравниванием сил притяжения и отталкивания, зависящих от расстояния между вершинами d : для всех пар вершин действует сила отталкивания $R(d)$, монотонно убывающая с ростом d , для всех пар смежных вершин действует сила притяжения $A(d)$, монотонно возрастающая с ростом d .

Простейшие монотонные функции – степенные: $R(d) = r \cdot d^{-p}$, $A(d) = a \cdot d^q$, где p, q – натуральные показатели степени, определяющие характер зависимости сил от расстояния; r, a – произвольные положительные коэффициенты. Для дальнейшего удобно выразить их через p, q и единую масштабную константу c , положив $r = c^q$, $a = c^{-p}$. Если рассмотреть граф с двумя смежными

вершинами и записать условие равновесия $R(d) = A(d)$, то получим $c^q d^{-p} = c^{-p} d^q$, откуда $d = c$. Это означает, что укладка графа K_2 представляет собой отрезок длины c . Легко также видеть, что укладка графа K_3 представляет собой правильный треугольник со стороной c .

Случай, когда силы отталкивания и притяжения характеризуются числами p, q , будем называть (Rp, Aq) -моделью сил.

Более подробно рассматриваются четыре модели:

(R1, A1)	$R = \frac{c}{d}$	$A = \frac{d}{c}$	
(R1, A2)	$R = \frac{c^2}{d}$	$A = \frac{d^2}{c}$	модель Рейнгольда и Фрухтермана (1991).
(R2, A1)	$R = \frac{c}{d^2}$	$A = \frac{d}{c^2}$	модель Кулона (отталкивание) и Гука (линейная упругость).
(R2, A2)	$R = \frac{c^2}{d^2}$	$A = \frac{d^2}{c^2}$	

Для каждой из четырех моделей потенциальная энергия $W = W_R + W_A$, где W_R – потенциальная энергия сил отталкивания, W_A – потенциальная энергия сил притяжения. Для различных моделей имеем:

(R1, A1)	$W_R = -c \sum_{i \neq j} \ln \frac{d_{ij}}{c}$	$W_A = \frac{1}{2c} \sum_{(i,j) \in E} d_{ij}^2$
(R1, A2)	$W_R = -c^2 \sum_{i \neq j} \ln \frac{d_{ij}}{c}$	$W_A = \frac{1}{3c} \sum_{(i,j) \in E} d_{ij}^3$
(R2, A1)	$W_R = c \sum_{i \neq j} \frac{1}{d_{ij}}$	$W_A = \frac{1}{2c^2} \sum_{(i,j) \in E} d_{ij}^2$
(R2, A2)	$W_R = c^2 \sum_{i \neq j} \frac{1}{d_{ij}}$	$W_A = \frac{1}{3c^2} \sum_{(i,j) \in E} d_{ij}^3$

Здесь всюду $d_{ij} = \sqrt{(x_j - x_i)^2 + (y_j - y_i)^2}$ – расстояние между вершинами графа, E – множество ребер графа.

Положение равновесия "механической" системы соответствует минимуму потенциальной энергии, для поиска которого можно, например, применить метод, основанный на вычислении ее градиента. Для различных моделей сил отталкивания и притяжения имеем следующие выражения производных потенциальной энергии:

(R1, A1)	$\frac{\partial W_R}{\partial y_i} = c \sum_{j \neq i} \frac{x_j - x_i}{d_{ij}^2}$	$\frac{\partial W_A}{\partial x_i} = -\frac{1}{c} \sum_{j \in V(i)} (x_j - x_i)$
	$\frac{\partial W_R}{\partial y_i} = c \sum_{j \neq i} \frac{y_j - y_i}{d_{ij}^2},$	$\frac{\partial W_A}{\partial y_i} = -\frac{1}{c} \sum_{j \in V(i)} (y_j - y_i)$
(R1, A2)	$\frac{\partial W_R}{\partial x_i} = c^2 \sum_{j \neq i} \frac{x_j - x_i}{d_{ij}^2},$	$\frac{\partial W_A}{\partial x_i} = -\frac{1}{c} \sum_{j \in V(i)} d_{ij} \cdot (x_j - x_i)$
	$\frac{\partial W_R}{\partial y_i} = c^2 \sum_{j \neq i} \frac{y_j - y_i}{d_{ij}^2},$	$\frac{\partial W_A}{\partial y_i} = -\frac{1}{c} \sum_{j \in V(i)} d_{ij} \cdot (y_j - y_i)$
(R2, A1)	$\frac{\partial W_R}{\partial x_i} = c \sum_{j \neq i} \frac{x_j - x_i}{d_{ij}^3},$	$\frac{\partial W_A}{\partial x_i} = -\frac{1}{c^2} \sum_{j \in V(i)} (x_j - x_i)$
	$\frac{\partial W_R}{\partial y_i} = c \sum_{j \neq i} \frac{y_j - y_i}{d_{ij}^3}$	$\frac{\partial W_A}{\partial y_i} = -\frac{1}{c^2} \sum_{j \in V(i)} (y_j - y_i)$
(R2, A2)	$\frac{\partial W_R}{\partial y_i} = c^2 \sum_{j \neq i} \frac{y_j - y_i}{d_{ij}^3},$	$\frac{\partial W_A}{\partial x_i} = -\frac{1}{c^2} \sum_{j \in V(i)} d_{ij} \cdot (x_j - x_i)$
	$\frac{\partial W_R}{\partial x_i} = c^2 \sum_{j \neq i} \frac{x_j - x_i}{d_{ij}^3},$	$\frac{\partial W_A}{\partial y_i} = -\frac{1}{c^2} \sum_{j \in V(i)} d_{ij} \cdot (y_j - y_i)$

Здесь всюду $V(i)$ – множество вершин, смежных с вершиной i .

Заметим, что в отличие от линейной силовой укладки, при которой координаты вершин внешней грани надо назначать принудительно, для нелинейной силовой укладки этого не требуется, так что трудную графовую задачу о гранях можно не решать (и вообще укладываемый граф не обязан быть планарным). Однако нелинейный метод имеет свои трудности: система уравнений равновесия

$$\frac{\partial W}{\partial x_i} = 0, \frac{\partial W}{\partial y_i} = 0 \text{ нелинейна, а если искать минимум потенциальной энергии градиентным методом,}$$

то надо подбирать "хорошие" начальные условия и обеспечивать сходимость итерационного процесса.

Алфавитный указатель

Б

Блок в графе, 5

Г

Граница грани, 5

Грань плоского графа, 5

Д

Двудольный граф, 4

Двухсвязный граф, 7

Дерево, 4

К

Компонента связности графа, 4

Л

Лес, 4

О

Остовное дерево графа, 5

П

Планарность, 4

Планарный граф, 5

Плоская укладка, 5

С

Схема укладки, 7

Т

Точка сочленения, 5

Ц

Цепь в обыкновенном графе, 4

Цикл, 4

Литература

- [1]. Лекции по теории графов (Емеличев В.А. и др.). М.: Наука, 1990.
- [2]. Рейнгольд Э., Нивергельт Ю., Део Н. Комбинаторные алгоритмы. Теория и практика. М.: Мир, 1980.
- [3]. Lucker G.S., Booth K.S. Testing for the consecutive ones property, interval graphs and graph planarity using PQ-tree algorithms // J of Comp. and Sys. Sciences, 13, P. 355–379 (1976).
- [4]. Demoucron G., Malgrange Y., Pertuiset R. Graphes planaires: reconnaissance et construction de representations planaires topologiques // Rev. Francaise Recherche Operationelle, 8, P. 33– 47, 1964.
- [5]. Тетельбаум А.Я. Силовое размещение планарного графа // Изв. АН СССР, Техн. киберн., 1988, №3.
- [6]. Fruchterman T.J., Reingold E.T. Graph drawing by force-directed placement // Software – Practice and Experience, v.21, 1991, № 11.